

Nd·YVO₄ 晶体的弹性常数

王汝菊 李凤英 吴 星 杨华光

(中国科学院物理研究所 北京 100080)

摘要 利用高精度高频超声技术, 在室温常压下, 脉冲回波重合法测定了四方晶系 YVO₄ 和分别掺质 1at-%, 2at-% Nd³⁺ 的 Nd·YVO₄ 晶体的声速, 根据声波沿晶体不同对称方向传播的纵波和横波速度, 得到六个独立的二阶弹性常数 C₁₁, C₄₄, C₆₆, C₃₃, C₁₂ 和 C₁₃, 由此计算了热力学参数德拜温度, 并比较 Nd³⁺ 掺入量对它们的影响。还报道了弹性常数 C₆₆ 的异常变化, 在一对(010)面上, 沿 [010] 极化方向施加对顶挤压时, 相应的横波脉冲回波强度急剧减弱, 传播时间也发生明显变化。

关键词 Nd·YVO₄, 声速, 弹性常数

1 引言

Nd·YVO₄ 是一种优良的激光晶体。它具有大的受激发射截面、适宜的亚稳态寿命、强而宽的抽运吸收带, 因此特别适合制作低阈值、高效率的 LD 抽运的晶体激光器^[1]。近年来, LD 抽运 Nd·YVO₄ 激光器的研究和开发进展迅速, 已有大量多种类型的激光器进入商品市场^[2,3]。晶体激光器中由于热耗散引起激光晶体内出现热应力、热应力双折射、热透镜等热效应是激光器设计时必须考虑的问题, 而与这些热效应强弱直接相关的晶体弹性性能尚未见报道。我们发表 Nd·YVO₄ 的弹性常数, 供激光器设计者参考。

弹性常数是与晶体点阵振动有关的基本参数, 是理论研究包括多体力在内的固体中微观相互作用的重要实验依据。利用高频超声技术, 通过测量超声波在晶体某些对称方向传播的声速, 可以得到表示晶体动态应力—应变关系的二阶和高阶弹性常数, 及提供热状态方程的重要参数。我们采用脉冲回波重合法, 测定了提拉法生长的纯 YVO₄ 和掺不同 Nd³⁺ 浓度的 Nd·YVO₄ 单晶在室温常压下的声速, 从而得到晶体的弹性常数, 并推算出德拜温度。

2 实验方法

超声波在弹性介质中传播的速度 V(称为介质的声速), 与介质本身的性质和状态有关, 主要决定于介质的密度(ρ) 和有关的弹性常数。通常, 固体弹性能(ϕ) 对拉格朗日应变(η) 的级数展开可表示为^[4]

$$\rho_0 \phi = (1/2) C_{ijkl} \eta_{ij} \eta_{kl} + (1/6) C_{ijklmn} \eta_{ij} \eta_{kl} \eta_{mn} + (1/24) C_{ijklmnpq} \eta_{ij} \eta_{kl} \eta_{mn} \eta_{pq} + \dots \quad (1)$$

其中

$$C_{ijkl} = \rho_0 (\partial^2 \phi / \partial \eta_{ij} \partial \eta_{kl}) \quad \eta_{ii} = 0, \eta_{kl} = 0 \quad (2)$$

为二阶 Brugger 有效弹性系数, 只在简谐近似条件下计及, 它是由 81 个分量组成的四阶对称

张量, 不同晶系的晶体, 独立弹性常数的个数随对称性的增高而减少。

YVO_4 晶体属于空间群为 $I4_1/\text{amd}$ 的四方晶系, 每个晶胞有 4 个化学式单元。根据晶体的无源声波方程(又称 Christoffel 方程)^[5], 并对 C_{ijkl} 采用 Voigt 符号, 下脚标 $ijkl$ 可做相应简化, 即 $11 \rightarrow 1, 22 \rightarrow 2, 33 \rightarrow 3, 23 = 32 \rightarrow 4, 31 = 13 \rightarrow 5, 12 = 21 \rightarrow 6$, 不难推导四方晶系有 6 个独立的二阶弹性常数: $C_{11}, C_{44}, C_{66}, C_{33}, C_{12}$ 和 C_{13} , 方程的解可给出沿晶体不同方向传播的声速与它们的对应关系, 见表 1^[6]。

表 1 四方晶系($4mm, \bar{4}2m, 422, (4/m)(2/m)(2/m)$)声速与弹性常数的关系

Table 1 Relation between velocities and elastic constants on tetragonal crystals
($4mm, \bar{4}2m, 422, (4/m)(2/m)(2/m)$)

Propagation direction	Polarization direction	ρV^2
[100]	[100]	C_{11}
[100]	[001]	C_{44}
[100]	[010]	C_{66}
[001]	[001]	C_{33}
[001]	in xy plane	C_{44}
[110]	[110]	$^* C_A$
$[\sqrt{2}/2, 0, \sqrt{2}/2]$	$[\sqrt{2}/2, 0, \sqrt{2}/2]$	$^* C_B$

$$^* C_A = (1/2)(C_{11} + C_{12} + 2C_{66}), ^* C_B = (1/4)\{(C_{33} + 2C_{44} + C_{11}) + \sqrt{(C_{11} - C_{33})^2 + 4(C_{13} + C_{44})^2}\}.$$

以高纯的 Y_2O_3 , Nd_2O_3 和 V_2O_5 为原料, 采用提拉法生长的纯 YVO_4 单晶和含 Nd^{3+} 量分别为 1% 和 2% (at-%) 的 Nd-YVO₄ 单晶, 按表 1 列出的取向要求, 经 X 光定向(方向精度<1°), 切割晶体, 研磨后制成超声测试样品。根据浮力原理, 利用感量为 0.01 mg 的微量分析天平, 逐一对所有样品做了室温密度测量。

超声测量是在 MATEC-6600 型超声测量仪上进行的, 采用脉冲回波重合法^[7] (简称 PEO), 测量系统框图如图 1 所示。超声波在样品中往返传播时, 通过精确调整连续波振荡器的扫描频率, 使得射频脉冲任意两个回波的载波处于正确的周-周重合状态(见图 2 所示), 其重合频率的倒数正是两回波间声波传播所经历的时间, PEO 测量频率精度为 10^{-5} 。本文用石英换能器, 室温常压和 10 MHz 工作频率, 测量超声波(包括纵向和横向两种模式)在样品中的传播时间(灵敏度为 0.5 ns), 得到晶体的声速和二阶弹性常数, 进而推算与晶格振动频率相关的德拜温度 Θ_D 。四方晶系的德拜温度 Θ_D 和弹性常数间的关系如下^[8]

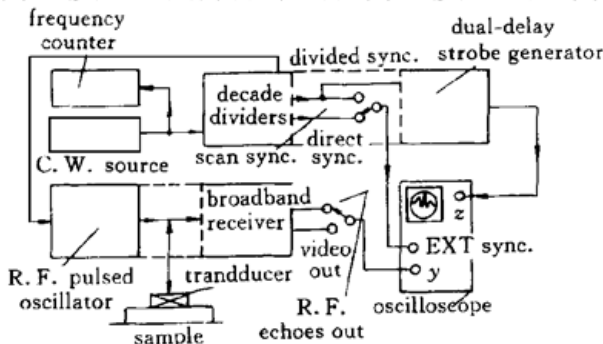


图 1 PEO 测量系统框图

Fig. 1 Block diagram for PEO electrical system

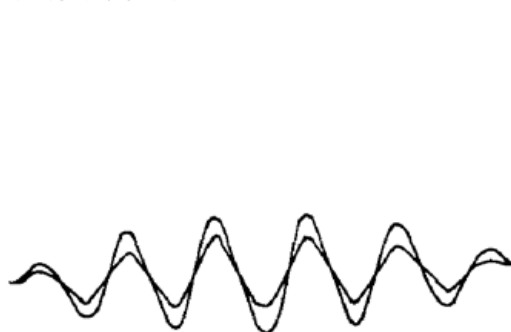


图 2 两回波正确的周-周重合示意图

Fig. 2 Typical pair of overlapped echoes

$$\Theta_D = (h/k)(9N/4\pi\tau)^{1/3} \rho^{-1/2} J^{-1/3} \quad (3)$$

$$1290J = 288f_1 + 144f_2 + 512f_3 - 125f_4 + 96f_5 + 375f_6 \quad (4)$$

其中 $f_1 \sim f_6$ 为二阶弹性常数 C_{ij} 的组合, h 和 k 分别为普朗克常数和玻耳兹曼常数, N 为晶胞中原子数, τ 表示晶胞体积。

对 1at-% Nd·YVO₄(100) 和(001) 样品, 还采用了相比较法(简称 PC)^[9] 测量相应的超声速度, 与 PEO 的结果进行比较。

3 实验结果

选用纯 YVO₄ 和两种不同 Nd³⁺ 掺量的 Nd·YVO₄ 样品, 尺寸均不相等, 其中纯 YVO₄ 和 2at-% Nd·YVO₄(100) 和(001) 样品, 在[010] 方向的长度超过 30 mm。为观测晶体声学性能的均匀程度, 采用分区测量, 即在样品(100) 和(001) 晶面, 沿[010] 方向划分左、中、右三段区域(见图 3), 在同样测量条件下比较相应的声速值。

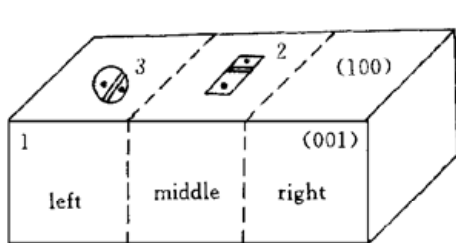


图 3 样品分区测量示意图

1: 样品; 2: 横波换能器; 3: 纵波换能器

Fig. 3 Schematic illustration of divided region for sample measurement
1: sample; 2: transducer for shear wave;
3: transducer for longitudinal wave

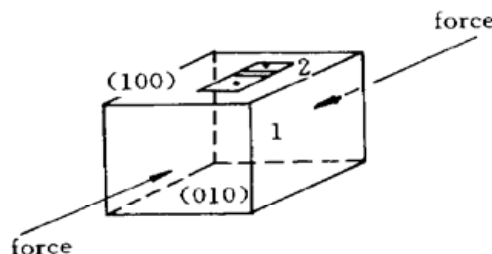


图 4 样品被施加对顶挤压示意图

1: 样品; 2: 横波换能器

Fig. 4 Schematic illustration of applied a pair of compressive force to sample
1: sample; 2: transducer for shear wave

计算德拜温度 Θ_D 时, 认为纯 YVO₄ 和 Nd·YVO₄ 的晶格常数^[10] 近似相同, 即 $a = b = 0.71192$ nm, $c = 0.62898$ nm, 晶胞中化学式单元都为 4。已知 X 射线衍射法测量纯 YVO₄ 的密度 $D_x = 4.247$ g/cm³(25°C), 超声测量和计算结果见表 2。

引人注意的是 C_{66} 的异常变化, 表 1 所示 C_{66} 是对应于声波沿[100] 方向传播, [010] 极化方向的纯横波模式, 以 2at-% Nd·YVO₄ 为例, 在一对(010) 面的任何局部位置, 沿[010] 极化方向人为施加对顶挤压时(见图 4), 观察到来自样品的脉冲回波强度急剧减弱, 第一、二回波的幅度分别由原来的 3.7 和 2 减至 1.7 和 0.7, 相应的衰减系数 α 也同时由 2.89 dB 增加到 3.30 dB, 相对变化约为 14%。这里,

$$\alpha = (20/2L) \log(E_n/E_{n+1}) \quad [11] \quad (5)$$

其中 L 为声波传播方向样品的长度, E_n 和 E_{n+1} 分别为来自样品的相邻两脉冲回波的振幅。与此同时, 原来被重合的两个脉冲回波立刻错开, 样品中声波的传播时间明显增加, 约为 5 ns, 远超出本仪器的测时灵敏度 0.5 ns, 相应的声速减少约为 0.4%; 当对顶挤压撤消时, 回波强度立即复原, 错开的两回波恢复重合状态。 C_{66} 模量的这一异常现象, 在 YVO₄, 1at-% Nd·YVO₄ 和 2at-% Nd·YVO₄ 三种样品中都存在, 且回波幅度及传播时间的变化也大致相同, 而在晶体不同方向的其他声学模式, 尚未观测到类似现象。需要指出的是, 在人为施加对顶挤压时, 没有加进

表 2 纯 YVO_4 和两种不同 Nd^{3+} 掺量的 $\text{Nd}\cdot\text{YVO}_4$ 晶体在室温下的超声结果比较Table 2 The measured results and calculated elastic constants at room temperature for pure YVO_4 and $\text{Nd}\cdot\text{YVO}_4$ crystals using ultrasonic technique

Sample	Pure YVO_4			1at-% $\text{Nd}\cdot\text{YVO}_4$	2at-% $\text{Nd}\cdot\text{YVO}_4$		
$\rho/\text{g/cm}^3$	4.243 ± 0.003 (18.5°C)			4.252 ± 0.003 (17.1°C)	4.264 ± 0.0005 (18.2°C)		
Propagate [100]							
Length/mm		10.098		11.676		11.615	
	Left	Middle	Right				
$V_l/\text{km/s}$	7.589	7.592	7.592			7.599	7.597
V_l (Average)	7.591 ± 0.001			7.574 ± 0.003 (7.584) [*]	7.596 ± 0.002		
C_{11}/GPa	244.51			243.94	246.04		
$V_{S1}/\text{km/s}$	1.941	1.958	1.959			1.939	1.940
V_{S1} (Average)	1.953 ± 0.007			1.941 ± 0.037 (1.954) [*]	1.939 ± 0.0003		
C_{66}/GPa	16.18			16.03	16.03		
$V_{S2}/\text{km/s}$	3.376	3.375	3.368			3.360	3.368
V_{S2} (Average)	3.373 ± 0.003			3.365 ± 0.001 (3.362) [*]	3.364 ± 0.002		
C_{44}/GPa	48.27			48.15	48.26		
Propagate [001]							
Length/mm		10.026		14.619		13.200	
	Left	Middle	Right				
$V_l/\text{km/s}$	8.594	8.596	8.605			8.589	8.582
V_l (Average)	8.598 ± 0.004			8.600 ± 0.002 (8.612) [*]	8.585 ± 0.002		
C_{33}/GPa	313.70			314.46	314.24		
$V_s/\text{km/s}$	3.367	3.369	3.373			3.368	3.361
V_s (Average)	3.370 ± 0.002			3.372 ± 0.0006 (3.365) [*]	3.364 ± 0.002		
C_{44}/GPa	48.18			48.36	48.26		
Propagate [110]							
Length/mm		6.052		6.176		8.143	
$V_l/\text{km/s}$		6.196 ± 0.002		6.188 ± 0.001		6.175 ± 0.002	
[*] C_A/GPa		162.91		162.81		162.62	
Propagate [[*] *]							
[*] Length/mm		18.887		11.090		12.546	
$V_l/\text{km/s}$		7.373 ± 0.0007		7.369 ± 0.001		7.346 ± 0.0005	
[*] C_B/GPa		230.64		230.88		230.11	
Calculate							
C_{12}/GPa		48.93		49.65		47.14	
C_{13}/GPa		81.09		81.55		79.07	
Θ_D/K		443		441		442	

* : The measured results using phase comparison method; [* * *] represents [$\sqrt{2}/2, 0, -\sqrt{2}/2$].

任何外部的热传导和电场等因素的影响。

4 讨 论

从表 2 不难看出, 三种不同样品中随着 Nd^{3+} 掺入量的增多, 室温测量相应样品的密度有

小量增加, 2at-% Nd·YVO₄ 比纯 YVO₄ 的密度增加 5%。Nd·YVO₄ 中 Nd³⁺ 替代 YVO₄ 中 Y³⁺, Nd³⁺ 的摩尔质量大于 Y³⁺ 的摩尔质量, Nd³⁺ 的离子半径大于 Y³⁺ 的离子半径, 掺入 Nd³⁺ 引起晶胞体积的变化不足以抵偿摩尔质量增大, 就会引起密度小量增加。

超声测量所用的每一块样品都是经过严格的 X 光定向, 因而, 分别由晶体[100] 和 [001] 方向传播的横波速度, 得到的相应弹性模量 C_{44} 完全自洽。

分别采用了 PEO 和 PC 方法, 测量同一块 1at-% Nd·YVO₄ 的(100) 和(001) 样品, 得到的相应于 C_{11} , C_{66} , C_{44} 和 C_{33} 的声速值基本吻合。

在晶体生长过程中, 从熔体中生长 Nd·YVO₄ 单晶, 由于 Nd 的分凝系数 $k < 1$, 故沿晶体生长方向 Nd 浓度有改变, 随晶体长度的延伸, 熔体中 Nd 浓度略有增加, 因此, 生长的晶体越长, 晶体的均匀程度越难以保证。对纯 YVO₄ 和 2at-% Nd·YVO₄ 长条形样品分区域测量的结果显示, 声波分别沿[100] 和[001] 方向传播时, 在(100) 和(001) 晶面左、中、右三段不同部位, 观测到的各声波模式相应的速度基本一致。可以认为, 生长较长晶体时, 由于分凝系数 $k < 1$ 引起的 Nd 浓度变化, 对晶体中声的传播速度并无影响。

超声研究结果反映了 Nd·YVO₄ 晶体中 Nd³⁺ 掺入量增多时, 对相应的声速和弹性模量有不同程度的影响, 分别用 V_d 和 C_d 表示它们的相对变化。这里

$$V_d = [(V_{\max} - V_{\min})/V_{\text{aver}}] \times 100\% \quad (6)$$

$$C_d = [(C_{\max} - C_{\min})/C_{\text{aver}}] \times 100\% \quad (7)$$

无论是纯模方向, 还是非纯模方向, 所有模式声波速度随 Nd³⁺ 掺入量的变化都 < 1%, 均在 PEO 法声速测量的误差范围内, 相应的 C_d 变化也 < 1%。可以说, 在 Nd·YVO₄ 中, Nd³⁺ 加入量由零增至 2at-% 时, 对其弹性常数的影响能被忽略。从晶体生长角度讲, 生长掺质晶体的目的是为了使晶体具有某种特性或改变它的某种性能^[12], YVO₄ 中掺入 Nd³⁺ 后, 产生了光受激发射的特性, 而晶体结构并没有发生变化, 当 Nd³⁺ 掺量至 2at-% 时, 实测的密度值也只有微量改变, 因此, 声波速度不会受到大的影响, 这与本文上述的结果基本一致。

德拜温度 Θ_D 是研究晶体热状态方程的重要参数, 它标志晶格振动最高频率的热能对应的温度。文中(3) 式表明它与晶体原子体积(τ/N), 密度和二阶弹性常数的函数(J) 有直接关系, 由于 Nd·YVO₄ 与 YVO₄ 同属空间群为 $I4_1/amd$ 的四方晶系, 晶格常数近似不变, 计算各样品 Θ_D 时, 弹性常数将成为主要影响因素, 虽然其中的 C_{12} 和 C_{13} 变化稍大, 对 Θ_D 并未产生很大影响。

上述 C_{66} 的奇异现象, 是我们多年超声实验研究中首次观测到的。对此现象的存在、成因及研究价值等诸多问题, 还有待进一步探讨。

参 考 文 献

- 1 R. A. Fields, M. Birnbaum, C. L. Fincher. Highly efficient Nd·YVO₄ diode-laser end-pumped laser. *Appl. Phys. Lett.*, 1987, **51**(23): 1885~ 1886
- 2 M. D. Selker, T. J. Johnston, G. Frangineas. > 8.5 Watts of single frequency green from a diode pumped intra-cavity doubled ring laser. Conference on Lasers and Electro-optics, Postdeadline Papers, Anaheim, California, June 2~ 7, 1996. 21
- 3 David Hargis, Allen Earman. Diode-pumped microlasers promise portable projectors. *Laser Focus World*, 1998, (5): 243~ 246
- 4 K. Brugger. Thermodynamic definition of higher order elastic coefficients. *Phys. Rev. A*, 1964, **133**: 1611~ 1612

- 5 B. A. Auld. Acoustic Fields and Waves in Solids (Volume 1). A Wiley-Interscience Publication, John Wiley, 1873. 163~ 165
- 6 H. A. A. Sider, G. A. Saunders, B. James. The pressure and temperature dependences of the elastic behaviour of lithium tetraborate. *J. Phys. Chem. Solids*, 1990, **51**(5): 457~ 465
- 7 Wang Jifang, Yuan Maosen, Li Huali. An apparatus of puls echo overlap method. *Physics* (物理), 1985, **14**(6): 372~ 373 (in Chinese)
- 8 W. P. Mason. Physical Acoustic Principles and Methods (Vol. —, Part B.). New York and London: Academic Press, 1965. 26
- 9 H. J. McSkimin. Principles and Methods. In: W. P. Mason ed. Physical Acoustic 1 (Part A), New York: Academic Press, 1964. 315~ 317
- 10 Powder Diffraction File, Inorganic Volume, No. PDIS-18iRB; Published by the Joint Committee on Powder Diffraction Standards, 1974, p375, Number 17~ 341
- 11 J. Szilard. Ultrasonic testing, non-conventional testing techniques. A Wiley-Interscience Publication. John Wiley & Sons, 1982. 11~ 23
- 12 Zhang Kecong, Zhang Lehui. Condensed matter physics series—science and technique of crystal growth. Beijing: Science Press, 1997. 401~ 520 (in Chinese)

Ultrasonic Study on Nd·YVO₄ Crystals

Wang Ruju Li Fengying Wu Xing Yang Huaguang

(Institute of Physics, The Chinese Academy of Sciences, Beijing 100080)

Abstract Using the ultrasonic technique with high precision, the sound velocities of tetragonal crystal YVO₄, 1at-% Nd·YVO₄ and 2at-% Nd·YVO₄ have been measured at the ambient temperature and pressure by the pulse echo overlap method. Six independent second order elastic constants (C_{11} , C_{44} , C_{66} , C_{33} , C_{12} and C_{13}) of crystals and Debye temperature Θ_D have been obtained from longitudinal and shear velocities propagated along different orientations. The results indicate no change of these parameters with different Nd³⁺ concentrations. An abnormal phenomena on C_{66} was observed with putting a pair of compressive force on (010) faces of the crystal along polarisation direction [010] of the transducer.

Key words Nd·YVO₄, sound velocity, elastic constants